

СВЕРХЗВУКОВАЯ СТРУЯ ВО ВНЕШНЕМ АКУСТИЧЕСКОМ ПОЛЕ

М. Г. ЛЕБЕДЕВ, Г. Ф. ТЕЛЕНИН

(Москва)

Исследуется взаимодействие сверхзвуковых струй с внешними акустическими волнами применительно к проблеме излучения струями звука дискретной частоты. Возможная физическая схема, объясняющая возникновение и поддержание пульсаций сверхзвуковых струй с дискретной частотой, предложена в [1]. Там же решена модельная задача о воздействии на плоскую сверхзвуковую струю возмущений давления заданной частоты, бегущих по ее поверхности. Результаты решения этой задачи (в частности, наличие критических частот, при которых возмущения в струе неограниченно растут в направлении движения потока) подтверждают выдвинутую гипотезу о том, что сверхзвуковая струя в силу своей периодической (ячейстой) структуры обладает свойствами резонатора.

В [1] сформулирована также более общая задача о взаимодействии сверхзвуковой струи с внешним акустическим полем, полностью соответствующая разработанной физической схеме явления. В настоящей работе эта задача решена в полном объеме для плоских и цилиндрических струй, при симметричном и антисимметричном характере возмущений во внешнем акустическом поле, а также при наличии во внешней среде дозвукового спутного потока.

1. Постановка задачи и метод решения. Пусть сверхзвуковая цилиндрическая или плоская струя с числом Маха M истекает в затопленное пространство из жесткого цилиндра диаметра $2R$ либо из плоской щели ширины $2R$ (фиг. 1). Течение в невозмущенной струе равномерное; давление в струе и окружающей среде p . Задачу о взаимодействии струи с внешним акустическим полем будем решать в линейном приближении, основания к чему приводятся в [1].

В соответствии с моделируемым явлением излучения струей звука дискретной частоты считаем, что струя распадается на расстоянии x_0 от среза сопла и что область распада струи является источником излучения акустических волн с круговой частотой ω (фиг. 1). Это излучение назовем основным.

Акустические волны, соответствующие основному излучению, распространяясь по окружающему струю пространству, воздействуют на струю и приводят ее в возмущенное состояние. При этом имеет место излучение акустической энергии с поверхности возмущенной струи во внешнюю среду; это излучение назовем вторичным. Обозначим комплексные потенциалы, описывающие основное и вторичное излучение, через Ψ_0 и Ψ , а потенциал возмущенного течения в струе через Φ .

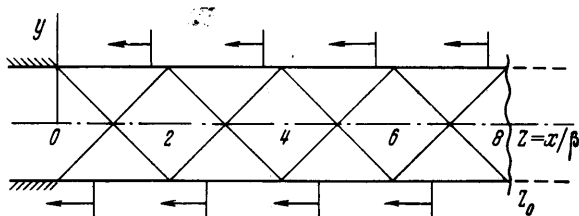
Целью работы является изучение амплитудно-частотной характеристики сверхзвуковой струи, взаимодействующей с внешним акустическим полем. При постановке задачи размыкается обратная связь в автоколебательной системе струя — внешние акустические волны, а вместо этого предполагается наличие генератора основного акустического излучения Ψ_0 , независимого от струи.

Основное акустическое поле, источник которого лежит в области распада струи, в настоящее время экспериментально недостаточно изучено. Поэтому относительно его характера будут сделаны предположения, упрощающие выкладки и вместе с тем не противоречащие известным экспериментальным фактам. Считаем, что на поверхности струи ($y=R$) производ-

ная $\partial \Psi_0 / \partial y = 0$, т. е. основное излучение воздействует на струю только через давление, а возмущения давления при $y=R$ представляют собой волну, бегущую в направлении к соплу

$$(1.1) \quad p' = pR \exp(-i\omega x / a_e)$$

Можно показать, что существует ряд решений волнового уравнения, точно или приближенно удовлетворяющих указанным условиям и условию ограниченности на бесконечности.



Фиг. 1

Задача определения возмущенного течения в струе и вторичного излучения от струи под воздействием заданных акустических волн с потенциалом Ψ_0 состоит в решении волновых уравнений для потенциалов Φ и Ψ

$$(1.2) \quad \frac{\partial^2 \Phi}{\partial z^2} - \frac{\partial^2 \Phi}{\partial y^2} - \frac{m}{y} \frac{\partial \Phi}{\partial y} - i2 \frac{M a_e}{\beta a} \pi S \frac{\partial \Phi}{\partial z} + \left[\frac{mj^2}{y^2} - \left(\frac{a_e}{a} \pi S \right)^2 \right] \Phi = 0$$

$$(1.3) \quad \frac{1}{\beta^2} \frac{\partial^2 \Psi}{\partial z^2} + \frac{\partial^2 \Psi}{\partial y^2} + \frac{m}{y} \frac{\partial \Psi}{\partial y} - \left[\frac{mj^2}{y^2} - (\pi S)^2 - i\epsilon \pi S \right] \Psi = 0$$

В уравнениях (1.2), (1.3) $m=0$ или 1 для плоского или цилиндрического случая, $j=0$ или 1 при симметричных или антисимметричных возмущениях, a и a_e — скорости звука в струе и во внешней среде, $S = \omega 2R / 2\pi a_e$ — безразмерная частота (число Струхалья), $\beta^2 = M^2 - 1$, координаты x, y отнесены к радиусу R , а потенциалы Φ и Ψ соответственно к величинам aR и $a_e R$. Поскольку характерным продольным размером в данной задаче является длина ячейки струи (фиг. 1), вместо переменной x используется переменная $z = x / \beta$.

Уравнение (1.3) отличается от обычного волнового уравнения наличием члена с малым параметром $\epsilon > 0$, описывающего рассеяние энергии. Введение этого члена дает преимущества при решении краевой задачи для волнового уравнения с помощью преобразования Фурье [2]. При решении аналитическими методами переходят к пределу $\epsilon = 0$ в окончательном решении. Решая задачу численно, положим ϵ малой, но отличной от нуля величиной, считая, что решение уравнения (1.3) при малом ϵ близко к решению волнового уравнения. Исследование зависимости численных решений от ϵ подтверждает это предположение.

Возмущения давлений и скоростей выражаются через потенциалы по формулам

$$(1.4) \quad V' = a \operatorname{grad} \Phi, \quad V_e' = a_e \operatorname{grad} \Psi$$

$$p' = \gamma p \left(i\pi S \frac{a_e}{a} \Phi - \frac{M}{\beta} \frac{\partial \Phi}{\partial z} \right), \quad p_e' = \gamma_e p_i \pi S \Psi$$

где γ, γ_e — показатели адиабаты.

Граничные условия, единственным образом определяющие возмущенное течение в струе и внешнее акустическое поле, должны быть конкретизированы применительно к физическому характеру рассматриваемой задачи [1]. При излучении струей звука дискретной частоты взаимодействие между струей и внешней средой имеет место лишь на участке от среза сопла до области распада струи ($0 \leq z \leq z_0$). Поэтому условия равенства давлений и смещений на поверхности раздела между струей и внешним акустическим полем следует наложить лишь при $0 \leq z \leq z_0$, а при $z > z_0$ может быть выбрано условие быстрого затухания колебаний поверхности раздела с ростом z . При $z < 0$ на поверхности жесткого цилиндра ставится обычное условие непротекания.

К этим условиям следует добавить условие излучения для внешнего акустического поля Ψ на бесконечности, а для возмущений в струе условие на оси и условие отсутствия возмущений на срезе сопла. С учетом сказанного граничные условия для рассматриваемой задачи имеют вид

$$(1.5) \quad \Phi = \text{grad } \Phi = 0 \quad (z=0, 0 \leq y \leq 1)$$

$$(1.6) \quad \left. \begin{array}{l} \Phi = 0, \\ \partial \Phi / \partial y = 0, \end{array} \right\} \begin{array}{l} j=1 \\ j=0 \end{array} \quad y=0, \quad 0 \leq z \leq \infty$$

$$(1.7) \quad \gamma \left(i\pi S \frac{a_e}{a} \Phi - \frac{M}{\beta} \frac{\partial \Phi}{\partial z} \right) = \Pi(z) + P \exp(-i\pi S \beta z)$$

$$\Pi(z) = \gamma_e i\pi S \Psi(z, 1) \quad (y=1, 0 \leq z \leq z_0)$$

$$(1.8) \quad \frac{\partial \Psi}{\partial y} = \begin{cases} 0 & (y=1, z \leq 0) \\ -i\pi S Y(z) & (y=1, 0 \leq z \leq z_0) \\ \xi(z) & (y=1, z > z_0) \end{cases}$$

$$(1.9) \quad |\Psi| < \infty \quad (\sqrt{z^2 + y^2} = \infty)$$

В условии (1.8) Y — смещение границы струи, отнесенное к R , которое определяется по известному потенциалу Φ с помощью дифференциального уравнения

$$(1.10) \quad \frac{M}{\beta} \frac{dY}{dz} - i \frac{a_e}{a} \pi S Y = \left(\frac{\partial \Phi}{\partial y} \right)_{y=1}$$

с граничным условием $Y(0) = 0$. Величина $\xi(z)$ в (1.8) есть некоторая быстро убывающая с ростом z функция.

Решение описанной краевой задачи может быть сведено к решению операторного уравнения

$$(1.11) \quad \Pi(z) - L\{\Pi(z)\} = 0$$

где $\Pi(z)$ — возмущение давления на поверхности струи, обусловленное вторичным излучением (см. условие (1.7)), а L — оператор, позволяющий учесть условие равенства смещений.

Уравнение (1.11) решалось численно итерационным методом ложного положения [3]. В качестве начального приближения обычно задавалось $\Pi(x) = 0$; для определения $L\{\Pi\}$ на каждой итерации при помощи преобразования Лапласа решалось уравнение (1.2) с условиями (1.5) — (1.7), а затем при помощи преобразования Фурье — уравнение (1.3) с условиями (1.8) — (1.10). Эти решения были сведены к квадратурам, которые выполнялись численно.

Отметим, что выбор того или иного закона затухания колебаний поверхности раздела за сечением $z = z_0$, т. е. функции $\xi(z)$ в (1.8), а также выбор местоположения сечения $z = z_0$ не оказывает по крайней мере при $z_0 \leq 12$

сильного влияния на решение задачи в области $z < z_0$. Так, влияние $\xi(z)$ сказывается на решении для возмущений давления при $z < z_0$ лишь в окрестности точки $z = z_0$, имеющей длину порядка одной ячейки струи. Решение, описывающее колебания границы струи, практически не зависит от выбора z_0 и условия, поставленного при $z > z_0$. Большинство расчетов выполнено при $z_0 = 10$.

Серийные расчеты проведены при числах Маха струи $M = 2, 3$ и 4 и $a_e/a = 0.01, 1$ и $[1 + M^2(\gamma - 1)/2]^{1/2}$, что соответствует горячей струе, несильно нагретой струе и холодной струе, температура торможения которой равна температуре внешней среды. Для каждого из этих вариантов исследовалось взаимодействие струи с акустическими волнами (1.1) при частотах последних $0 < S \leq 0.4 - 0.6$. В ходе решения были получены распределения параметров возмущенного течения в струе и во внешней среде.

Заметим, что, если положить в (1.7) $\Pi(x) = 0$, получим упрощенную постановку задачи, в которой пренебрегается вторичным излучением с поверхности возмущенной струи. Решение такой задачи можно получить аналитически, что было сделано для плоского случая в [1]. Выпишем здесь единое для плоского ($m = 0$) и цилиндрического ($m = 1$) случаев решение при антисимметричных возмущениях во внешних акустических волнах

$$\begin{aligned} \Phi(z, y) = & ie^{inz} \frac{P\beta}{\gamma M} \left\{ \frac{1}{c-d} [f_m(y) e^{-idz} - g_m(y) e^{-icz}] + \right. \\ & \left. + \sum_{n=1}^{\infty} \frac{h_{mn}(y)}{\Lambda_{mn}} \left[\frac{\exp(i\Lambda_{mn}z)}{(\Lambda_{mn}+c)(\Lambda_{mn}+d)} - \frac{\exp(-i\Lambda_{mn}z)}{(\Lambda_{mn}-c)(\Lambda_{mn}-d)} \right] \right\} \\ & \lambda = \beta^{-1} a_e / a \pi S, \quad \eta = M\lambda, \quad d = \lambda/M, \quad c = M\lambda + \beta \pi S, \quad C = (c^2 - \lambda^2)^{1/2} \\ & D = (\lambda^2 - d^2)^{1/2}, \quad \Lambda_{0n} = (\lambda^2 + \pi^2 n^2)^{1/2}, \quad \Lambda_{1n} = (\lambda^2 + \mu_n^2)^{1/2} \\ & f_0 = \text{sh } Dy / \text{sh } D, \quad g_0 = \sin Cy / \sin C, \quad h_{0n} = \pi n \sin \pi n y / \cos \pi n \\ & f_1 = I_1(Dy) / I_1(D), \quad g_1 = J_1(Cy) / J_1(C), \quad h_{1n} = \mu_n J_1(\mu_n y) / J_0(\mu_n) \\ (1.12) \quad & J_1(\mu_n) = 0 \end{aligned}$$

2. Анализ результатов. Так же, как и в [1], исследуя особые точки решения (1.12), можно вывести формулу для критических частот внешних акустических волн

$$(2.1) \quad S_* \equiv \omega_* 2R / 2\pi a_e = \varphi_{mj}(n) [(a_e/a + M)^2 - 1]^{-1/2} \\ (\varphi_{00} = n - 1/2, \quad \varphi_{01} = n, \quad \varphi_{10} = \mu_n^0 / \pi, \quad \varphi_{11} = \mu_n^1 / \pi, \quad n = 1, 2, 3, \dots)$$

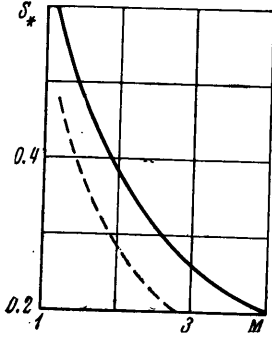
где μ_n^0 и μ_n^1 — соответственно n -е корни функций Бесселя J_0 и J_1 .

На фиг. 2 по (2.1) построена зависимость $S_*(M)$ при $n = 1$ для холодной цилиндрической ($m = 1$) струи в случае антисимметричного ($j = 1$) акустического поля. Там же пунктиром нанесена полученная в [4] при обработке большого количества экспериментальных данных различных авторов зависимость частоты дискретной составляющей (первого тона) в спектре шума круглых струй от среднего числа Маха струи, определенного по перепаду давлений в резивере и окружающей среде. Отличие теоретических и экспериментальных данных $\sim 30\%$ при всех M ; заметим, что разброс экспериментальных данных относительно пунктирной кривой на фиг. 2 составляет $15 - 30\%$.

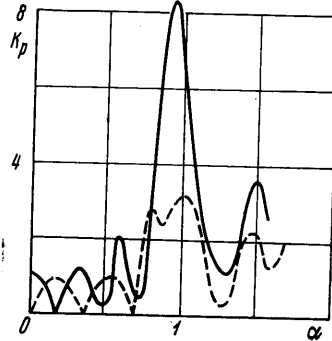
Для зависимостей величин возмущений, развивающихся в струе, от частоты внешних волн характерны пики в окрестностях критических частот (2.1). На фиг. 3 для точки $y = 0.5, z = 6$ при $M = 3, a_e/a = 1$ построены зави-

симости коэффициента усиления возмущений давления K_p , представляющего собой отношение амплитуды возмущений давления в той или иной точке к амплитуде внешних волн (1.1), от отношения α частоты S внешних волн к критической частоте S_* , вычисленной по (2.1) при $n=1$. (В дальнейшем всюду, где это не оговорено особо, исследуется антисимметричный случай.)

В цилиндрическом случае (сплошная кривая на фиг. 3) учет уноса акустической энергии с поверхности струи при решении задачи в полной по-



Фиг. 2



Фиг. 3

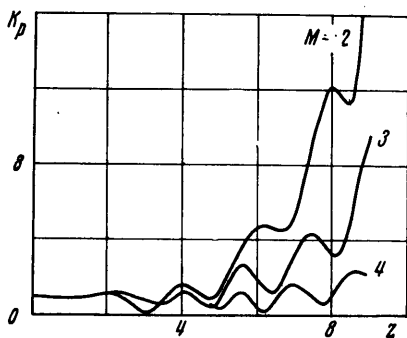
становке приводит, как это видно на фиг. 3, к некоторому уменьшению частоты, при которой достигается максимум K_p , по сравнению с критической частотой (2.1), полученной при решении в упрощенной постановке. Это отличие растет с увеличением температуры струи, не превышая, однако, 10% ни в одном из рассмотренных случаев. В плоском случае (пунктир на фиг. 3) вторичное излучение с поверхности струи приводит к появлению еще одной частоты, при которой в струе развиваются возмущения, сравнимые с возмущениями при критической частоте. Эта частота имеет значение $S_1 \approx 0.8S_*$, независимо от значений параметров M , a_e/a .

Как и при решении упрощенной задачи [1], возмущения в струе при критической частоте растут с удалением от среза сопла. Вторичное излучение с поверхности пульсирующей струи приводит в плоском случае к уменьшению амплитуды возмущений давления при критической частоте по сравнению с соответствующей величиной в упрощенном решении в 1.5—2 раза; для цилиндрической струи влияние вторичного излучения слабее и уменьшение величины K_p составляет 10—20%.

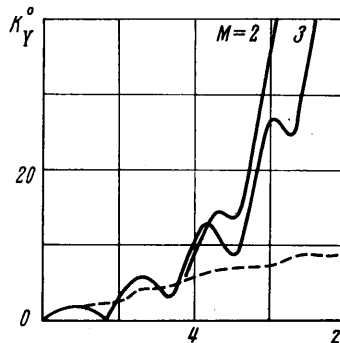
Учет вторичного излучения приводит к появлению одного эффекта, который не мог иметь места при решении упрощенной задачи. Рассмотрим поведение возмущений на поверхности струи ($y=1$). На небольших расстояниях от сопла вторичное излучение невелико и амплитуда суммарного излучения близка к амплитуде заданных внешних волн (1.1), т. е. $K_p \approx 1$. Однако на достаточном удалении от сопла при частотах порядка критической и превышающих ее амплитуда вторичного излучения может значительно превышать амплитуду заданных внешних волн. Это показывает фиг. 4, где приведены зависимости $K_p(z)$ на поверхности холодной цилиндрической струи при разных числах Маха струи и частоте внешних волн, равной критической. С удалением от сопла очень быстро растет и амплитуда K_y колебаний границы струи. Это видно из фиг. 5, где для тех же условий, что и на фиг. 4, построены зависимости от z величины $K_y^\circ = (\gamma M^2 / \pi \beta^2) K_y$. В упрощенном решении величина K_y° при заданных z и $\alpha = S/S_*$ практически не зависит от параметров M , a_e/a [1]. Различия между пол-

ным и упрощенным решениями для K_Y° становятся существенными при $z > 4$; при $z=6$ величина K_Y° , соответствующая полному решению, в несколько раз превышает ту же величину, полученную в упрощенном решении.

Данные фиг. 4, 5 показывают, что при $M \leq 3$ особенно резкий рост амплитуды возмущений давления на поверхности струи и размаха колебаний струи начинается при $z \approx 6-8$, т. е. за третьей-четвертой ячейками струи. Уменьшение числа Маха струи приводит к более быстрому росту возмуще-



Фиг. 4

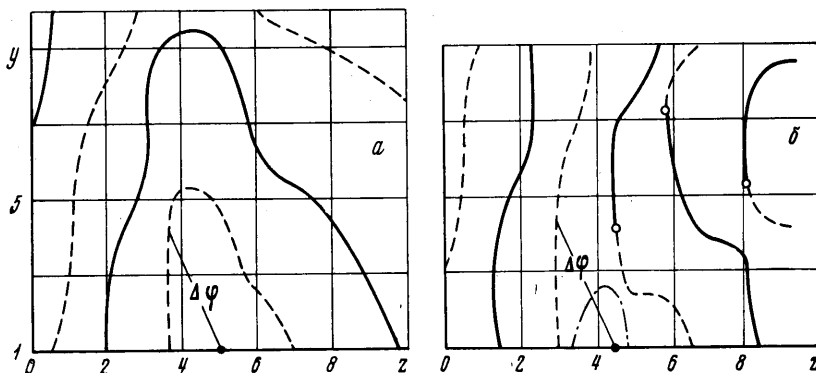


Фиг. 5

ний на поверхности струи; для струй с одинаковыми M и разными температурами различия невелики.

Сделанные выводы справедливы и для плоских струй, хотя в цилиндрическом случае отмеченные особенности вторичного излучения проявляются резче.

Рассмотрим еще картину возмущений во внешней среде, обусловленных вторичным излучением с поверхности пульсирующей струи. На фиг. 6, а построены линии равной фазы вторичного акустического излучения (для



Фиг. 6

давления) в плоском случае при $M=3$, $a_e/a=1$, $S=S_*=0.26$. Из графика видно, что возмущения давления во внешней среде, вызванные пульсациями в ней плоской струи, распространяются примерно как цилиндрические волны с центром в середине третьей ячейки струи (на фиг. 6 сплошным и пунктирным линиям соответствуют линии, на которых возмущения давления находятся в фазе и противофазе с возмущениями давления в эффективном источнике излучения).

В цилиндрическом случае (на фиг. 6, б для $M=3$, $a_e/a=1.67$, $S=S_*=0.26$) также имеется эффективный источник излучения, расположенный на поверхности струи в пределах ее третьей ячейки (при $z=4.5$). В окрестности точки $z=4.5$ линии равной фазы представляют собой замкнутые линии с полюсом в этой точке, например, как показанная штрихпунктиром на фиг. 6, б линия, на которой возмущения давления сдвинуты по фазе на 45° относительно эффективного источника. В дальнейшем акустическом поле картина более сложная. Здесь имеются точки, на которых амплитуда вторичного излучения обращается в нуль. Через каждую такую точку проходит некоторое множество фазовых линий, на каждой из которых при переходе через эту точку фаза меняется на 180° (фиг. 6, б).

Качественно тот же вид имеет картина фазовых линий и при других M , a_e/a . Положение эффективного источника слабо зависит от M ; для нагретых струй источник сдвигается дальше от среза сопла, но остается в пределах третьей ячейки струи.

Сопоставим полученные результаты с данными экспериментов. Фотографии плоских и круглых струй, излучающих звук дискретной частоты, приводятся в работах [5-10]. На всех фотографиях отчетливо видны две первые ячейки струи, смещение которых относительно стационарного положения практически отсутствует. Это согласуется с данными настоящей работы, по которым амплитуда вторичного излучения и смещения границы струи в этой области малы. Две следующие ячейки также довольно четко видны на фотографиях; однако их колебания уже заметны; с поверхности струи в окружающую среду срываются вихри. Это снова находится в соответствии с настоящими результатами, согласно которым в пределах третьей-четвертой ячеек струи начинается заметный рост возмущений на ее поверхности. Этот рост в линейном решении становится исключительно быстрым за четвертой ячейкой струи. В натуре наличие нелинейных и диссипативных механизмов ограничивает рост пульсаций. Из фотографий видно, что за четвертой ячейкой начинается мощное образование вихрей и струя практически распадается. Следующие ячейки струи на фотографиях либо неразличимы, либо просматриваются с большим трудом.

Таким образом, имеет место качественное соответствие между теоретическими результатами и данными экспериментов, причем быстрому росту возмущений на поверхности струи в линейном решении отвечает распад струи в эксперименте.

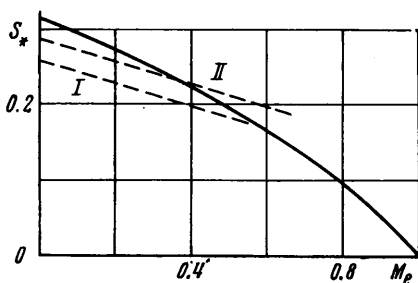
Картина акустических волн, излучаемых струей, может быть с хорошей точностью сведена к картине сферических волн, излучаемых некоторым источником, положение которого можно определить по фотографиям; он находится в области полностью распавшейся струи. Некоторые эксперименты (например, [8] с плоскими струями) указывают на наличие еще одного источника излучения, находящегося в области третьей-четвертой ячеек струи. Этот источник, по-видимому, можно сопоставить с эффективным источником вторичного излучения, о котором говорилось выше на основании результатов расчетов.

В случае симметричного акустического поля отмеченные выше эффекты не имеют места. В частности, амплитуда вторичного излучения на поверхности струи мала по сравнению с амплитудой заданных внешних волн (1.1) при любых частотах и на любом удалении от сопла. На фиг. 5 пунктиром нанесена зависимость $K_{\chi^\circ}(z)$ для симметричного случая при $M=3$, $S=S_*$. Эта величина с удалением от сопла растет в среднем линейно, тогда как в антисимметричном случае при больших z размах колебаний резко нарастает.

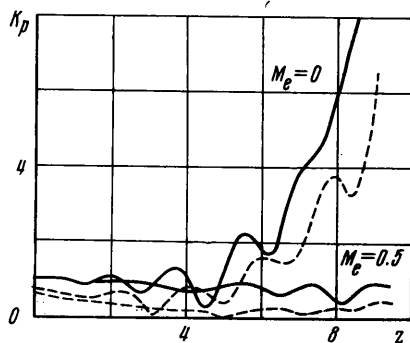
Приведенные данные показывают, что струя в симметричном акустическом поле оказывается более стабильной, чем в антисимметричном. Этот

результат находится в соответствии с тем фактом, что в эксперименте не наблюдается излучения звука дискретной частоты с симметричным характером акустического поля.

3. О влиянии спутного потока. Наличие во внешней среде дозвукового спутного потока с числом Маха $M_e < 1$ приводит лишь к незначительному изменению уравнений и расчетных формул п. 1. Ниже приведены некоторые результаты для антисимметричного случая.



Фиг. 7



Фиг. 8

Привлекая упрощенную постановку задачи, можно вывести формулу для критических частот внешних акустических волн при наличии спутного потока

$$(3.1) \quad S_* \equiv \frac{\omega_* 2R}{2\pi a_e} = \varphi_{m_j}(n) \left[\left(\frac{a_e}{a} + \frac{M-1}{1-M_e} \right) \left(\frac{a_e}{a} + \frac{M+1}{1-M_e} \right) \right]^{-1/2}$$

где $\varphi_{m_j}(n)$ определяется так же, как и в п. 2.

На фиг. 7 построена зависимость $S_*(M_e)$ для холодной цилиндрической струи с $M=2.5$. Там же приведены экспериментальные данные по частоте дискретной составляющей; в эксперименте дискретная составляющая была зарегистрирована при числах $M_e < 0.6-0.7$ на двух близких частотах (I и II на фиг. 7). Совпадение теоретических результатов с данными эксперимента при $M_e < 0.6-0.7$ удовлетворительное.

В цилиндрическом случае формула (3.1) дает правильное значение частоты, при которой в струе развиваются максимальные возмущения, и при учете уноса акустической энергии с поверхности струи. Наличие спутного потока несильно меняет амплитуду возмущений давления K_p в струе. В плоском случае при увеличении числа M_e наблюдается перемещение основного максимума кривой $K_p(S)$ с критической частоты $S=S_*$ на частоту $S_1 \approx 0.8S_*$.

На фиг. 8 приводятся зависимости $K_p(z)$ на границе цилиндрической (сплошные линии) и плоской (пунктир) струй при $M=3$, $a_e/a=1$, $M_e=0$ и 0.5. При наличии спутного потока вторичное излучение незначительно: на поверхности струи $K_p \approx 1$. Таким образом, спутный поток оказывает стабилизирующее влияние на струю. Эти данные соответствуют результатам эксперимента, согласно которым при достаточно больших числах M_e струи не излучают звука дискретной частоты.

Заметим еще, что при наличии спутного потока возмущения, вызванные во внешней среде пульсациями струи, распространяются в меридиональной плоскости как плоские волны, наклоненные к оси струи. Точно так же распространяются возмущения и в случае симметричного акустического поля. Таким образом, в этих двух случаях имеет место совершенно иной тип распространения возмущений во внешней среде, чем при анти-

симметричных пульсациях в затопленном пространстве (фиг. 6, б), когда вызванные колебаниями струи возмущения велики. Эти и вышеприведенные данные говорят о том, что как наличие спутного потока при антисимметричных возмущениях во внешнем акустическом поле, так и «симметризация» возмущений оказывают одинаковое, стабилизирующее влияние на струю.

4. При решении задачи о взаимодействии сверхзвуковой струи с внешним акустическим полем обнаружено, что существуют критические частоты, при которых имеет место максимальное усиление возмущений струей; возмущения в струе при этих частотах интенсивно растут с удалением от сопла. В соответствии с предложенной в [1] моделью явления излучение струей звука дискретной частоты должно происходить на этих частотах. Это подтверждается сопоставлением полученных в работе значений критических частот с экспериментальными данными по частоте дискретной составляющей в спектре шума сверхзвуковых струй.

Условия, при которых струя излучает звук дискретной частоты, зависят, вообще говоря, от нелинейных и диссипативных механизмов. Однако некоторые из этих условий могут быть получены и из линейных решений: необходимым условием для излучения струей звука дискретной частоты является быстрое развитие возмущений на поверхности струи в линейном решении. В тех случаях, когда такой быстрый рост не имеет места (при наличии спутного потока, в симметричном акустическом поле), дискретное излучение в экспериментах не обнаруживается.

Поступила 1 III 1973

ЛИТЕРАТУРА

1. Лебедев М. Г., Теленин Г. Ф. Исследование взаимодействия сверхзвуковой струи с акустическими волнами. Изв. АН СССР, МЖГ, 1970, № 4.
2. Нобл Б. Метод Винера—Хопфа для решения дифференциальных уравнений в частных производных. М., Изд-во иностр. лит., 1953.
3. Коллагц Л. Функциональный анализ и вычислительная математика. М., «Мир», 1969.
4. Ануфриев В. М., Комаров В. В., Купцов В. М., Мельников Д. А., Сергиенко А. А. Дискретная составляющая в спектре шума сверхзвуковых струй. Изв. АН СССР, МЖГ, 1969, № 5.
5. Мамин В. М., Римский-Корсаков А. В. Сверхзвуковая воздушная струя как источник звука. Сб. «Физика аэродинамических шумов». М., «Наука», 1967.
6. Powell A. On the noise emanating from a two-dimensional jet above the critical pressure. Aeronaut. Quart., 1953, vol. 4, pt 2.
7. Merle M. Emissions acoustiques associées aux jets d'air supersoniques. J. Mécanique, 1965, vol. 4, No. 3.
8. Hammit A. G. The oscillation and noise of an overpressure sonic jet. J. Aerospace Sci., 1961, vol. 28, No. 9.
9. Poldervaart L. J., Vink A. T., Wijnands A. P. J. The photographic evidence of the feedback loop of a two-dimensional screeching jet of air. The 6-th Internat. Congress on Acoustics, Tokyo, 1968, vol. 4.
10. Laffiter W. L., Hubbard H. H. The near noise field of static jets and some model devices for noise reduction. Nat. Adv. Comm. Aeronaut. Rept, 1956, No. 1261.